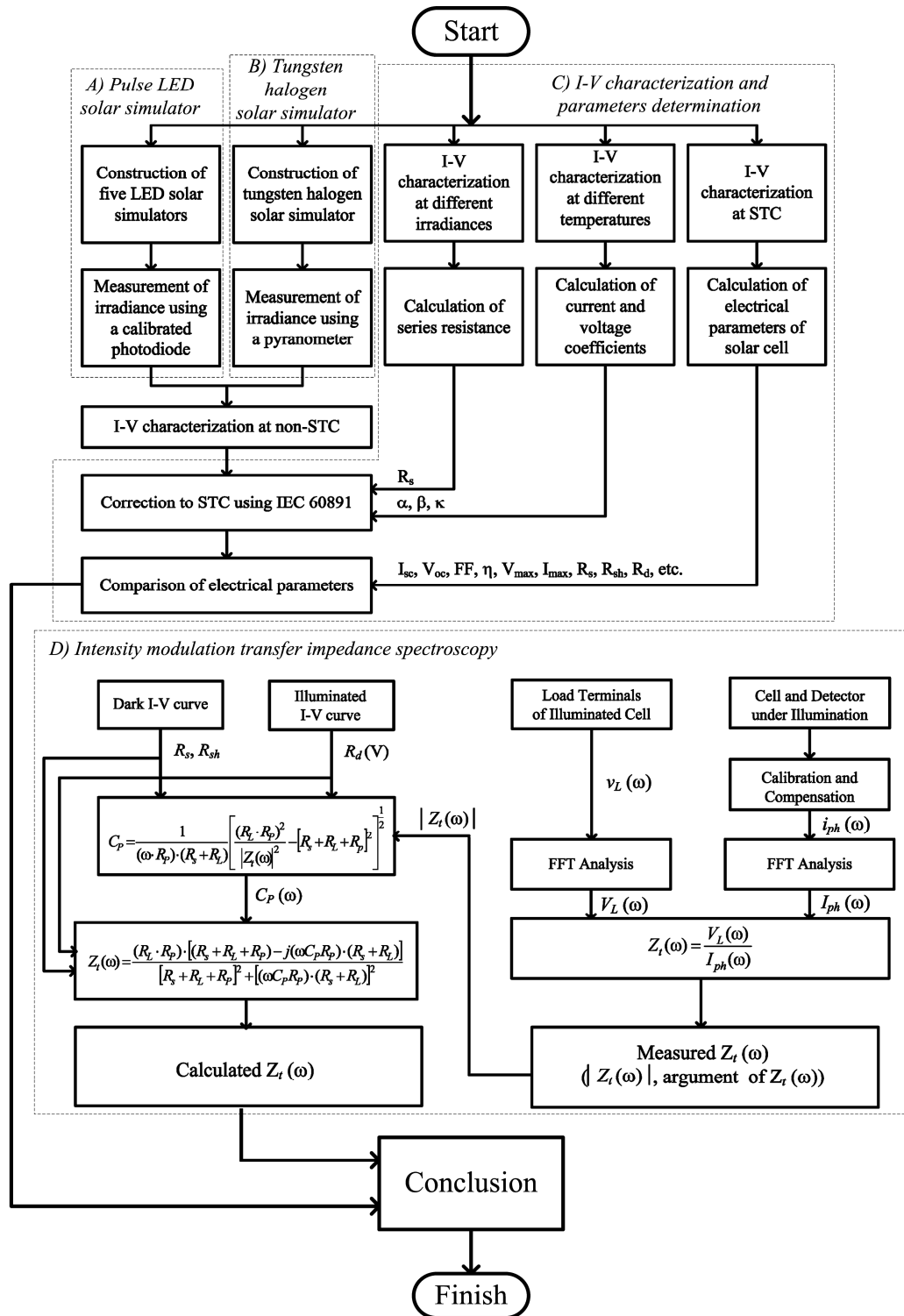


### บทที่ 3 วิธีดำเนินงาน

การศึกษาลักษณะพลวัตของเซลล์แสงอาทิตย์ในภาวะมืดและสว่าง มีขั้นตอนหลักแสดงดังรูปที่ 3.1



รูปที่ 3.1 การศึกษาลักษณะพลวัตของเซลล์แสงอาทิตย์ในภาวะมืดและสว่าง คัดแปลงจาก [101-102]

การทดลองและการวิเคราะห์ มี 4 ขั้นตอน คือ

ก) การสร้างแหล่งกำเนิดแสงอาทิตย์เทียม 4 แบบประกอบด้วย

: แหล่งกำเนิดแสงเป็นไดโอดเปล่งแสง สีขาว แดง เขียว น้ำเงิน จ่ายแรงดันให้ไดโอดด้วยพัลส์แรงดันสูง

: แหล่งกำเนิดแสงเป็นหลอดทั้งสแตนด์ฮาโลเจน จ่ายแรงดันที่ 100, 110 และ 120 % ของแรงดันพิกัด

: แหล่งกำเนิดแสงเป็นหลอดทั้งสแตนด์ฮาโลเจนและไดโอดสีน้ำเงิน

: แหล่งกำเนิดแสงเป็นหลอดทั้งสแตนด์ฮาโลเจนและไดโอดสีขาว หรือแดง หรือเขียว หรือน้ำเงิน

ข) การหาลักษณะกระแส – แรงดันของเซลล์แสงอาทิตย์ในภาวะมืดและสว่าง ภายใต้แสงอาทิตย์เทียม ซึ่งเป็นการวัดนอกสภาวะมาตรฐาน

ค) การเปลี่ยนลักษณะกระแส – แรงดันของเซลล์แสงอาทิตย์ไปสู่สภาวะมาตรฐาน

ง) การศึกษาลักษณะพลวัตของเซลล์แสงอาทิตย์ด้วยทรานส์เฟอร์อิมพีแดนส์

### 3.1 แหล่งกำเนิดแสงอาทิตย์เทียมชนิดไดโอดเปล่งแสง

แหล่งกำเนิดแสงอาทิตย์เทียมชนิดไดโอดเปล่งแสง ถูกสร้างเพื่อใช้ทดสอบลักษณะกระแส – แรงดันของเซลล์แสงอาทิตย์ ภายใต้สเปกตรัมเดี่ยว (monochromatic) ของไดโอดเปล่งแสงเทียบกับในภาวะมืดและภาวะทดสอบมาตรฐาน มีการดำเนินงานตามที่กล่าวต่อไป

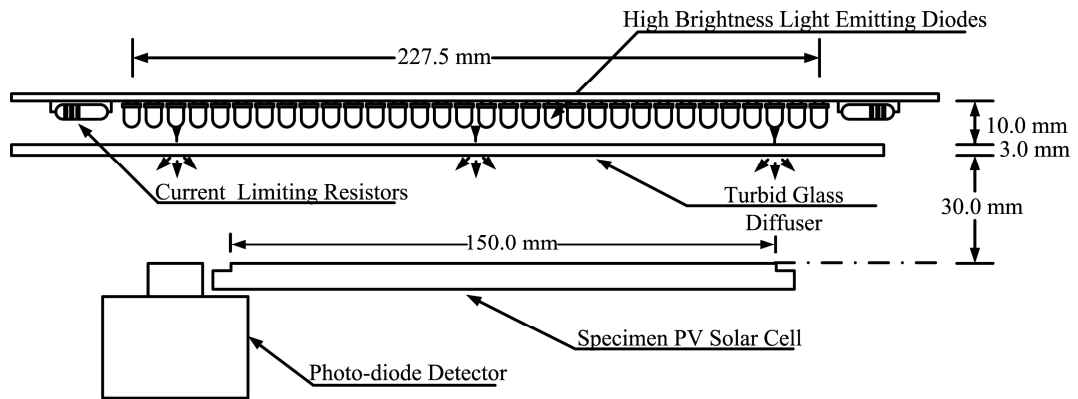
#### 3.1.1 การสร้างแหล่งกำเนิดแสงอาทิตย์เทียมชนิดไดโอดเปล่งแสง

แผงไดโอดเปล่งแสงมีขนาด 22.8\*22.8 ตารางเซนติเมตร ถูกใช้เพื่อสร้างแหล่งกำเนิดแสงสำหรับระบบแสงอาทิตย์เทียม มีรายละเอียดดังนี้

ก) ใช้ไดโอดเปล่งแสง 4 สีคือ สีน้ำเงิน 468 นาโนเมตร (TOL-50aUBdCEa-ETB6) สีเขียว 525 นาโนเมตร (TOL-50bUGdCTa-M4) สีแดง 632 นาโนเมตร (LTL2F3VEKNT) และสีขาว (LTW-2S3D7)

ข) สร้างแผงไดโอดเปล่งแสงสีเดี่ยว 4 แผง (น้ำเงิน เขียว แดง ขาว) แต่ละแผงประกอบด้วยไดโอด 1,024 ตัว แบ่งเป็น 64 สตริงขนาน และแต่ละสตริงมีไดโอด 16 ตัว ต่ออนุกรมกับตัวต้านทานจำกัดกระแส

ค) สร้างแผงไดโอดเปล่งแสงสีผสมแดง-เขียว-น้ำเงิน ซึ่งประกอบด้วยไดโอด 1,024 ตัว จัดวางเป็น 128 สตริงขนาน แต่ละสตริงมีไดโอดแสงสีเดียว 8 ตัว ต่ออนุกรมกับตัวต้านทานจำกัดกระแส มีสัดส่วนของหลอดแดง-เขียว-น้ำเงิน เท่ากับ 35% 33% และ 32% ตามลำดับ



รูปที่ 3.2 โครงสร้างของแหล่งกำเนิดแสงอาทิตย์เทียมชนิดไดโอดเปล่งแสง [103]

แผงไดโอดเปล่งแสงติดตั้งในตู้ควบคุมอุณหภูมิ วางแผงไว้เหนือแผ่นกระจกฝ้ากระจายแสงระยะห่าง 3 มิลลิเมตร ระยะห่างระหว่างแผ่นกระจกฝ้ากระจายแสงและระนาบทดสอบ(test plane) เท่ากับ 30 มิลลิเมตร โซลาร์เซลล์ที่ถูกทดสอบและโฟโตไดโอดดีเทคเตอร์ (13DAS003) ถูกวางบนระนาบทดสอบ แผ่นระบายความร้อนของไดโอดเปล่งแสงถูกระบายความร้อนด้วยลมเย็นเพื่อรักษาอุณหภูมิของแผงให้เท่ากับ 25 องศาเซลเซียส รูประบบแสงอาทิตย์เทียมแสดงดังรูปที่ 3.2

แหล่งจ่ายสัญญาณพัลส์แรงดันสูงสำหรับไดโอด สร้างจากแหล่งจ่ายไฟฟ้ากระแสตรงแรงดันสูง (Xantrex XDD20-600) วงจรจุดชนวนพัลส์โมโนสเตเบิล (LM555 - monostable) และ สวิตช์อิเล็กทรอนิกส์กำลังสูง (IRG4PH40UD) สัญญาณพัลส์สามารถควบคุมขนาดได้ระหว่าง 0-150 โวลต์ ควบคุมความกว้างพัลส์ (pulse width) ในช่วง 0.5-30 มิลลิวินาที และควบคุมคาบเวลา (pulse duration) ด้วยมือ ในการทดสอบ ได้ใช้กำลังงานพัลส์ที่ความกว้างพัลส์และคาบเวลาต่างกัน เพื่อศึกษาเปรียบเทียบการทำงานระหว่างการพัลส์กับการทำงานต่อเนื่อง

ก่อนสร้างแผงไดโอดเปล่งแสง ไดโอดตัวอย่างแต่ละสีถูกทดสอบขนาดพัลส์ที่ทำให้เกิดความเสียหายเนื่องจากอุณหภูมิเพิ่มขึ้น การทดสอบนี้ทำให้พบว่า ในการพัลส์แรงดันช่วง 2-3 เท่าของแรงดันพิกัด ทำให้ไดโอดเปล่งแสงมีค่ากระแสสูงขึ้นในช่วง 8-10 เท่าของพิกัด และสามารถระบายความร้อนได้ด้วยการเป่าลมเย็น ทั้งนี้ ขึ้นกับความกว้างพัลส์ (Pulse width) และคาบเวลาพัลส์ (Pulse period)

### 3.1.2 คุณสมบัติทางความร้อนและความเข้มแสงของแหล่งกำเนิดแสงอาทิตย์เทียมชนิดไดโอดเปล่งแสง

แหล่งกำเนิดแสงอาทิตย์เทียมชนิดไดโอดเปล่งแสงแต่ละสี มีการทดสอบดังนี้

- ก) ลักษณะทางความร้อนของแผงไดโอดเปล่งแสง เมื่อทำงานแบบพัลส์และแบบต่อเนื่อง
- ข) ลักษณะทางแสงของแผงไดโอดแต่ละสี

#### 3.1.2.1 การทดสอบลักษณะทางความร้อนของแผงไดโอดเปล่งแสง

แผงไดโอดเปล่งแสงแต่ละสีถูกเปรียบเทียบระหว่างการทำงานต่อเนื่อง กับการทำงานแบบพัลส์ ที่ความกว้างพัลส์ 10 มิลลิวินาที คาบเวลาพัลส์ 1 วินาที เป็นเวลารวมทั้งหมด 300 วินาที และมีการระบายความร้อนแบบธรรมชาติ เมื่อครบกำหนดเวลา 300 วินาที แผ่นระบายความร้อนด้านหลังของแผงไดโอดถูกวัดอุณหภูมิด้วยเครื่องถ่ายภาพความร้อน (IR Thermo-photographer, NEC TH7700N)

#### 3.2.2.2 การทดสอบลักษณะทางแสงของแผงไดโอดเปล่งแสงแต่ละสี

การทดสอบลักษณะทางแสงของแผงไดโอดเปล่งแสงแต่ละสี เมื่อแผงไดโอดถูก ดังรูปที่ 3.2 ประกอบด้วย การวัดความไม่สม่ำเสมอของความเข้มแสง การวัดเสถียรภาพของความเข้มแสง และการวัดสเปกตรัมของแสง เพื่อประเมินสมรรถนะของแหล่งกำเนิดแสงอาทิตย์เทียม ตามเกณฑ์มาตรฐานไออีซี 60904-9 [66]

การวัดความไม่สม่ำเสมอของความเข้มแสง เป็นการวัดความเข้มแสงบนพื้นงานทดสอบที่แบ่งส่วนเป็นพื้นที่เล็ก ๆ 8\*8 ส่วน ในการวัดนั้น โฟโตไดโอดดีเทคเตอร์ (13DAS003 with 13AMP003) ถูกสอบเทียบกับไพรานอมิเตอร์ (Kipp & Zonen CM11) ที่ความเข้มแสงกระแสตรง เพราะไพรานอมิเตอร์มีช่วงเวลาตอบสนองช้า จึงไม่สามารถวัดความเข้มแสงในช่วงเวลา 10 มิลลิวินาทีได้ เมื่อทราบอัตราส่วนระหว่างความเข้มแสง กับค่ากระแสลัดวงจรของโฟโตไดโอดดีเทคเตอร์ ภายใต้อำนาจจากแผงไดโอดแต่ละสี จึงนำโฟโตไดโอดดีเทคเตอร์ไปวัดความไม่สม่ำเสมอของแสงพัลส์ บนพื้นงานทดสอบขนาด 16\*16 ตารางเซนติเมตร ด้วยความละเอียด 8\*8 ส่วน และคำนวณค่าความไม่สม่ำเสมอของความเข้มแสงด้วยสมการที่ (2.13)

ในการวัดเสถียรภาพความเข้มแสงตลอดช่วงเวลากว้างพัลส์ 10 มิลลิวินาที ความกว้างพัลส์ที่เลือกนี้ ขึ้นกับเวลาในวัดลักษณะกระแส-แรงดันของอิเล็กทรอนิกส์โหลด ความเข้มแสงในช่วงเวลาดังกล่าว ถูกวัดด้วยโฟโตไดโอดดีเทคเตอร์ และค่ากระแสลัดวงจรของโฟโตไดโอดดีเทคเตอร์ (13DAS003)

ถูกแปลงสัญญาณเป็นค่าแรงดันด้วยทรานส์อิมพีแดนซ์ (Trans-impedance, 13AMP003) และวัดเสถียรภาพในช่วงเวลาดังกล่าว วัดด้วยออสซิลโลสโคป (Tektronix 2014) นอกจากนี้ กระแสพัลส์ของแผงไดโอดเปล่งแสงถูกวัดเพื่อเปรียบเทียบลักษณะความเสถียรกับความเข้มแสงด้วย

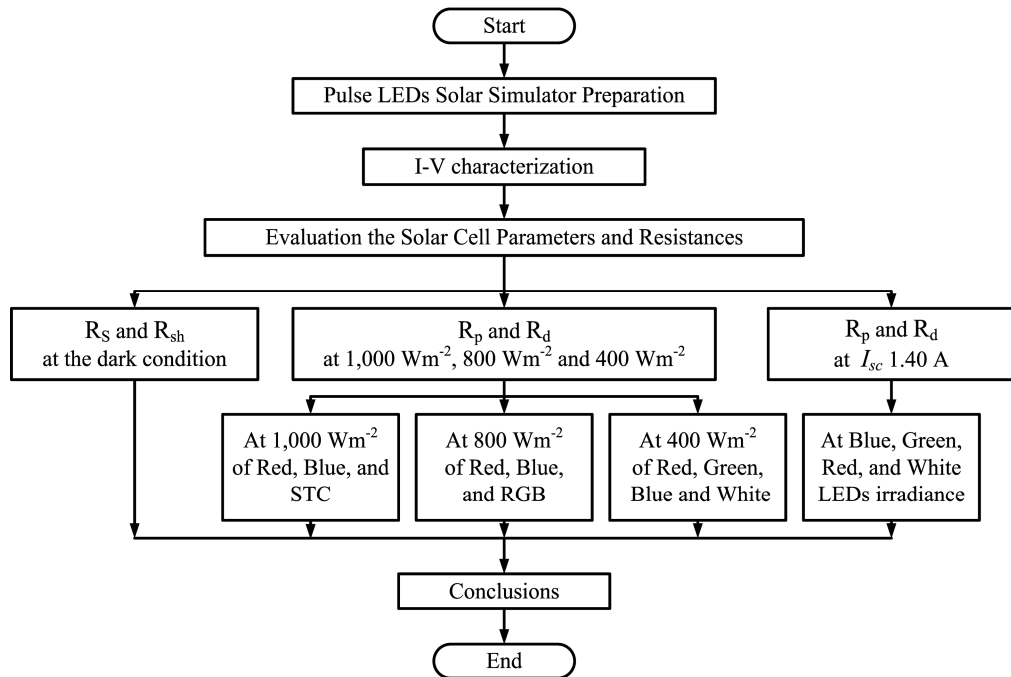
สเปกตรัมของแผงไดโอดเปล่งแสงแต่ละสี ถูกวัดด้วยเรดิโอมิเตอร์ (StellarNet Fiber Optic Spectrometer EEP 2000) เพื่อประเมินสัดส่วนของสเปกตรัมแสงในช่วง 400 ถึง 1100 นาโนเมตร

### 3.1.3 การวัดลักษณะกระแส-แรงดันของเซลล์แสงอาทิตย์ด้วยแหล่งกำเนิดแสงอาทิตย์เทียมชนิดพัลส์ไดโอดเปล่งแสง

เซลล์แสงอาทิตย์ชนิดซิลิกอนผลึกเดี่ยว ขนาด 12.5\*12.5 ตารางเซนติเมตร ผนึกระหว่างกระจกอีวีเอ (EVA) และแผ่นหลังเทดลาร์ (Tedlar) เป็นเซลล์ทดสอบ ถูกวัดลักษณะกระแส-แรงดันภายใต้แหล่งกำเนิดแสงอาทิตย์เทียมอ้างอิงมาตรฐานไออีซี 60904-1 [35] ในลักษณะต่อไปนี้ คือ

- ก) ใช้แหล่งกำเนิดแสงอาทิตย์เทียมชั้นคุณภาพมาตรฐาน เอเอเอ (PASAN Simulator IIIc) แหล่งกำเนิดแสงอาทิตย์เทียมนี้วัดเทียบกับเซลล์อ้างอิง สามารถปรับความกว้างพัลส์ได้ 2-10 มิลลิวินาที และสามารถวัดแผงเซลล์แสงอาทิตย์ได้ถึงขนาด 2\*2 ตารางเมตร
  - ข) ใช้ในการทดสอบ ลักษณะกระแส-แรงดันของเซลล์แสงอาทิตย์ ที่ความเข้มแสง 1,000 วัตต์ต่อตารางเมตร ด้วยแสงสีแดง หรือน้ำเงิน
  - ค) ทดสอบที่ความเข้ม 800 วัตต์ต่อตารางเมตร ด้วยแสงสีแดง สีน้ำเงิน หรือสีผสมRGB
  - ง) ทดสอบที่ความเข้ม 400 วัตต์ต่อตารางเมตร ด้วยแสงสีแดง สีเขียว สีน้ำเงิน หรือสีขาว
- ใช้แหล่งกำเนิดแสงอาทิตย์เทียมที่เป็นแผงไดโอดสี่เหลี่ยม 4 แผง และสีผสมแดง – เขียว – น้ำเงิน 1 แผง

เนื่องจากการวัดลักษณะกระแส-แรงดันของเซลล์ด้วยแหล่งกำเนิดแสงอาทิตย์เทียมชนิดพัลส์ไดโอดเปล่งแสง เป็นการวัดนอกภาวะมาตรฐาน จึงถูกปรับแก้ค่าไปสู่ภาวะมาตรฐานด้วยวิธีการตามมาตรฐานไออีซี 60891 [63] ลักษณะกระแส-แรงดันของเซลล์แสงอาทิตย์ที่ปรับแก้ค่าไปสู่ภาวะมาตรฐานแล้ว นำมาใช้ในการคำนวณหาค่าสมรรถนะของเซลล์แสงอาทิตย์ กระแสลัดวงจร แรงดันเปิดวงจร กำลังงานสูงสุด ประสิทธิภาพ และฟิลแฟกเตอร์ รวมถึงค่าความต้านทานไดนามิกภายใน ตามขั้นตอนแสดงดังรูปที่ 3.3



รูปที่ 3.3 การวัดและคำนวณพารามิเตอร์ด้วยแหล่งกำเนิดแสงอาทิตย์เทียมชนิดไดโอดเปล่งแสง [103]

### 3.2 แหล่งกำเนิดแสงอาทิตย์เทียมชนิดทั้งสแตนฮาโลเจน

แหล่งกำเนิดแสงอาทิตย์เทียมชนิดทั้งสแตนฮาโลเจน มีประเด็นที่ศึกษาประกอบด้วย การสร้างแหล่งกำเนิดแสงอาทิตย์เทียมชนิดทั้งสแตนฮาโลเจน แหล่งกำเนิดแสงอาทิตย์เทียมชนิดทั้งสแตนฮาโลเจน ความเข้มของแหล่งกำเนิดแสงอาทิตย์เทียมชนิดทั้งสแตนฮาโลเจน และ ลักษณะกระแสแรงดันของเซลล์แสงอาทิตย์ด้วยแหล่งกำเนิดแสงอาทิตย์เทียมชนิดทั้งสแตนฮาโลเจน

#### 3.2.1 การสร้างแหล่งกำเนิดแสงอาทิตย์เทียมชนิดทั้งสแตนฮาโลเจน

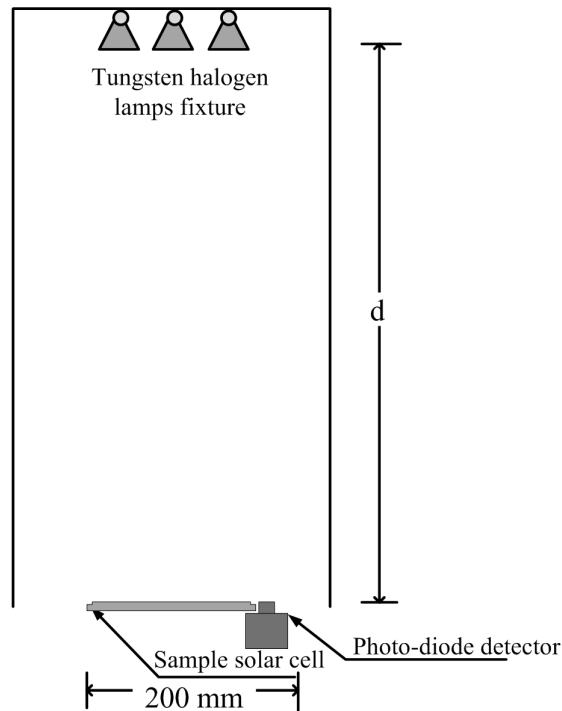
แหล่งกำเนิดแสงอาทิตย์เทียมเป็นหลอดทั้งสแตนฮาโลเจน มีลักษณะสำคัญดังนี้

ก) ใช้หลอดทั้งสแตนฮาโลเจน (Philips) พิกัด 12 โวลต์ 50 วัตต์ จำนวน 3\*3 หลอด วางในดวงโคมที่สร้างขึ้น ระบายความร้อนโดยธรรมชาติ หลอดทั้งหมดต่ออนุกรมกันเพื่อรับแรงดันไฟฟ้าสูงจากแหล่งจ่ายไฟฟ้ากระแสตรงคุณภาพสูง (Xantrex XDD20-600)

ข) ในการใช้งาน จ่ายแรงดันหลอดให้มีค่าเท่ากับ 100% 120% และ 140% ของแรงดันพิกัด ทำให้ความเข้มแสงบนพื้นงานทดสอบ ซึ่งวัดด้วยไพรานอมิเตอร์ (Kipp & Zonen CM11)

มีค่าเพิ่มสูงขึ้น และสเปกตรัมแสงที่วัดด้วยเรดิโอมิเตอร์ (StallarNet Fiber Optic Spectrometer EEP 2000) มีจุดสูงสุดของสเปกตรัมเลื่อนมาทางสีน้ำเงิน

ค) เพื่อควบคุมความเข้มแสงบนพื้นงานให้คงที่ 1,000 วัตต์ต่อตารางเมตร ระยะห่างระหว่างพื้นงานกับหลอดจึงถูกปรับในอัตรา 100% 120% และ 140% ของพิกัด และมีระยะ 42, 62 และ 78 เซนติเมตร ตามลำดับ ดังรูปที่ 3.4



รูปที่ 3.4 แหล่งกำเนิดแสงอาทิตย์เทียมชนิดทังสเทนฮาโลเจน

### 3.2.2 ความเข้มแสงของแหล่งกำเนิดแสงอาทิตย์เทียมชนิดทังสเทนฮาโลเจน

การวัดความเข้มแสงของแหล่งกำเนิดแสงอาทิตย์เทียมชนิดทังสเทนฮาโลเจน มี 2 กระบวนการ คือ ก) การควบคุมความเข้มแสง และ ข) การวัดคุณภาพแสง ดังต่อไปนี้

#### 3.2.2.1 การควบคุมความเข้มแสงของหลอดทังสเทนฮาโลเจน

แหล่งกำเนิดแสงอาทิตย์เทียมชนิดทังสเทนฮาโลเจน มีการควบคุมความเข้มแสงให้คงที่ 1,000 วัตต์ต่อตารางเมตร ด้วยการปรับระยะห่างระหว่างหลอดไฟกับพื้นงานทดสอบ เป็น 42, 62 และ 68 เซนติเมตร เมื่อปรับแรงดันของหลอดเท่ากับ 100%, 120%, และ 140% ตามลำดับ ทั้งนี้ เนื่องจากเมื่อแรงดันหลอดเพิ่มสูงขึ้น ทำให้หลอดได้รับกำลังงานเพิ่มและมีอุณหภูมิสูงกว่าเดิม บนพื้นงาน

ทดสอบจึงมีความเข้มแสง (ซึ่งวัดด้วยไพรานอมิเตอร์) เพิ่มขึ้น การเพิ่มระยะห่างระหว่างพื้นงานกับหลอดสามารถควบคุมความเข้มแสงได้ตามกฎกำลังสองผกผัน (Inverse Square Law)

### 3.2.2.2 การวัดคุณภาพแสงของแหล่งกำเนิดอาทิตย์เทียมแสงชนิดทั้งสแตนฮาโลเจน

ความไม่สม่ำเสมอของความเข้มแสงบนพื้นงานทดสอบที่ระยะห่าง 42, 62 และ 68 เซนติเมตร ถูกประเมินค่าด้วยการวัดความเข้มแสงบนพื้นงานขนาด 16\*16 ตารางเซนติเมตร ซึ่งแบ่งพื้นที่ออกเป็น 8\*8 ส่วน โดยใช้ไพรานอมิเตอร์ ค่าความเข้มแสงเฉลี่ยของค่าที่วัดได้ทั้ง 64 ค่า ถูกนำไปใช้ในการปรับระยะห่างให้ละเอียดขึ้น เพื่อควบคุมความเข้มแสงให้ได้ระดับ 1,000 วัตต์ต่อตารางเมตร

แหล่งกำเนิดแสงอาทิตย์เทียมชนิดทั้งสแตนฮาโลเจน เป็นแหล่งกำเนิดแสงคงที่ จึงสามารถวัดเสถียรภาพของความเข้มแสงในระยะเวลาจนถึง 1 ชั่วโมงได้ ในการทดสอบเสถียรภาพของความเข้มแสง แหล่งกำเนิดแสงทั้งสแตนฮาโลเจน ถูกเปรียบเทียบระหว่างการรับพลังงานจากแหล่งจ่ายชนิดเรกติไฟร์ (Rectifier Power Supply) กับชนิดคุณภาพสูง (Xantrex XDD 20-60) โดยใช้ไพรานอมิเตอร์วัดความเข้มแสงบนพื้นงานทดสอบเป็นเวลา 60 นาที เพื่อประเมินเสถียรภาพแสง

สเปกตรัมของแหล่งกำเนิดแสงอาทิตย์เทียมชนิดทั้งสแตนฮาโลเจน ถูกประเมินจากผลการวัดสเปกตรัมแสง ในการวัดเปรียบเทียบระหว่างแรงดันหลอด 100%, 120%, และ 140% นั้น เรกติโอมิเตอร์ถูกวางไว้ ณ ตำแหน่งความเข้มแสงเฉลี่ยบนพื้นงานทดสอบ สเปกตรัมแสงของหลอดทั้งสแตนฮาโลเจนที่ถูกเพิ่มแรงดันหลอดให้สูงขึ้น และมีอุณหภูมิเปลี่ยนแปลงไป จึงถูกนำมาประเมินคุณภาพตามเกณฑ์มาตรฐาน ไออีซี 60904-9 [66] ต่อไป

### 3.2.3 การวัดลักษณะกระแส-แรงดันของเซลล์แสงอาทิตย์ด้วยแหล่งกำเนิดแสงอาทิตย์เทียมชนิดทั้งสแตนฮาโลเจน

เซลล์ทดสอบ ถูกวัดลักษณะกระแส-แรงดันภายใต้แหล่งกำเนิดแสงอาทิตย์เทียมอ้างอิงมาตรฐาน ไออีซี 60904-1 [35] ในลักษณะต่อไปนี้

(ก) ที่ความเข้มแสง 1,000 วัตต์ต่อตารางเมตร

(ข) ในการทดสอบ มีการควบคุมแรงดันหลอดให้มีค่าเท่ากับ 100% 120% และ 140% ของแรงดันพิกัด โดยพื้นงานทดสอบ (Test plane area) มีระยะห่างจากหลอดเท่ากับ 42, 62 และ 78 เซนติเมตร ตามลำดับ เนื่องจากแรงดันที่จ่ายให้หลอดต่างกัน สเปกตรัมแสงที่ได้จึงต่างกัน และเนื่องจากการวัดนอกภาวะมาตรฐาน ค่าจึงถูกปรับแก้ไปสู่ภาวะมาตรฐานตามมาตรฐาน ไออีซี 60891 [63]

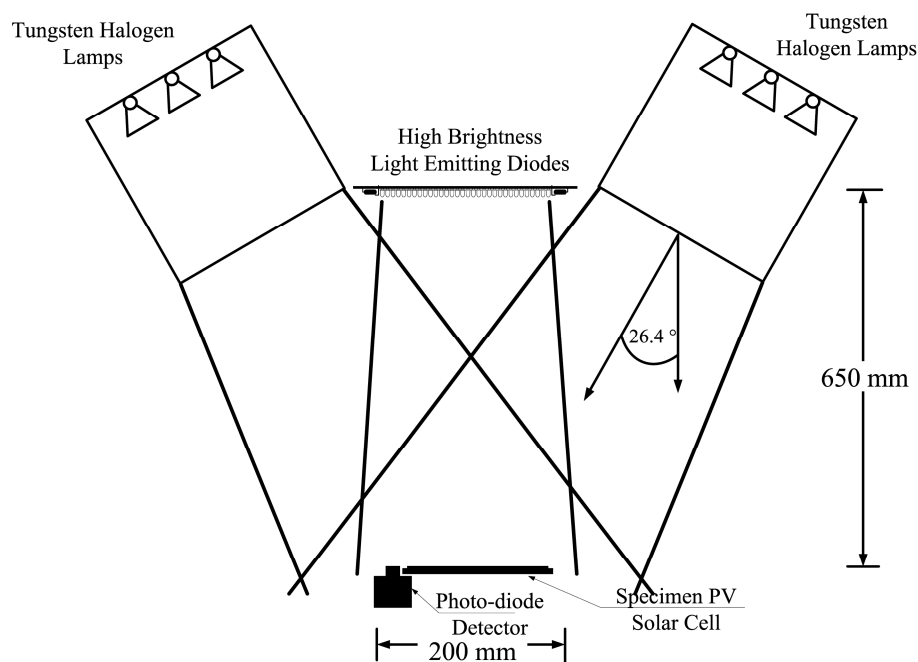
### 3.3 แหล่งกำเนิดแสงอาทิตย์เทียมชนิดทั้งสแตนฮาโลเจน-ไดโอดเปล่งแสง

แหล่งกำเนิดแสงอาทิตย์เทียมเป็นหลอดทั้งสแตนฮาโลเจนและไดโอดเปล่งแสง มีลักษณะที่สำคัญ ดังนี้

ก) ดวงโคมสำหรับติดตั้งหลอดทั้งสแตนฮาโลเจน พิกัด 12 โวลต์ 50 วัตต์ 3\*3 หลอดต่อโคม จำนวนทั้งหมด 2 ดวงโคม ดวงโคมทั้งสแตนฮาโลเจนทั้งสองทำมุมเอียง 26 องศา กับแนวระนาบจ่ายแรงดันพิกัดให้กับหลอดทั้งสแตนฮาโลเจน

ข) แผงไดโอดเปล่งแสงสี่เหลี่ยม 4 แผง (น้ำเงิน เขียวแดง ขาว) มีลักษณะเหมือนแผงที่ระบุไว้ในส่วนที่ 3. 1 ถูกวางไว้ตรงกลางระหว่างดวงโคมทั้งสแตนฮาโลเจนทั้งสอง โดยมีการระบายความร้อนให้แผงไดโอดเปล่งแสงด้วยลมเย็น

ค) ระบายทดสอบอยู่ใต้แผงไดโอดเปล่งแสงที่ระยะ 65 เซนติเมตร



รูปที่ 3.5 ไดอะแกรมแหล่งกำเนิดแสงอาทิตย์เทียมชนิดทั้งสแตนฮาโลเจน – ไดโอดเปล่งแสง [102]



a) Tungsten-halogen Lamps and White LEDs Array



b) Tungsten-halogen Lamps and Blue LEDs Array



c) Tungsten-halogen Lamps and Green LEDs Array



d) Tungsten-halogen Lamps and Red LEDs Array

### รูปที่ 3.6 ภาพถ่ายแหล่งกำเนิดแสงอาทิตย์เทียมชนิดทั้งสแตนฮาโลเจน – ไดโอดเปล่งแสง

#### 3.3.1 ความเข้มแสงของแหล่งกำเนิดแสงอาทิตย์เทียมชนิดทั้งสแตนฮาโลเจน – ไดโอดเปล่งแสง

แหล่งกำเนิดแสงอาทิตย์เทียมชนิดทั้งสแตนฮาโลเจน – ไดโอดเปล่งแสง ถูกประเมินคุณภาพโดยใช้เกณฑ์ตามมาตรฐานไออีซี 60904-9 ความเข้มแสงบนพื้นงานทดสอบขนาด 16\*16 ตารางเซนติเมตร ซึ่งแบ่งพื้นที่ออกเป็น 8\*8 หรือ 64 ส่วน ถูกวัดค่าด้วยไพรานอมิเตอร์ เพื่อใช้ประเมินความเข้มแสงเฉลี่ย และควบคุมความเข้มแสงให้ได้ระดับ 1,000 วัตต์ต่อตารางเมตร โดยการปรับละเอียดระยะห่างระหว่างหลอดกับพื้นงานทดสอบ นอกจากนี้ ค่าความเข้มแสงทั้ง 64 ค่า บนพื้นงานทดสอบ ยังถูกนำไปประเมินค่าความไม่สม่ำเสมอของความเข้มแสงด้วย

ความเข้มแสงบนพื้นงานทดสอบ ถูกวัดด้วยไพรานอมิเตอร์ และบันทึกค่าด้วยออสซิลโลสโคปเป็นเวลา 60 นาที เพื่อประเมินเสถียรภาพของความเข้มแสง และสเปกตรัมแสงถูกวัดด้วยสเปกโตรเรดิโอมิเตอร์เพื่อประเมินคุณภาพแสงในช่วง 400 ถึง 1,100 นาโนเมตร

### 3.3.2 การวัดลักษณะกระแส-แรงดันของเซลล์แสงอาทิตย์ด้วยแหล่งกำเนิดแสงอาทิตย์เทียมชนิดทั้งสเดนฮาโลเจน – ไดโอดเปล่งแสง

เซลล์ทดสอบ ถูกวัดลักษณะกระแส-แรงดันภายใต้แหล่งกำเนิดแสงอาทิตย์เทียมอ้างอิงมาตรฐาน ไออีซี 60904-1 [35] ในลักษณะต่อไปนี้

ก) แหล่งกำเนิดแสงอาทิตย์เทียมชนิดทั้งสเดนฮาโลเจน-ไดโอดเปล่งแสงสีน้ำเงิน ใช้ในการทดสอบลักษณะกระแส-แรงดันของเซลล์ ที่ความเข้มแสง 1,040 วัตต์ต่อตารางเมตร ไดโอดสีน้ำเงินถูกนำมาใช้กับหลอดทั้งสเดนฮาโลเจนเพื่อเพิ่มแสงส่วนน้ำเงินของสเปกตรัม เพราะสเปกตรัมของหลอดทั้งสเดนฮาโลเจนที่แรงดันพิกัดมีค่าต่ำ เช่นเดียวกันว่าการวัดนี้เป็นการวัดนอกภาวะมาตรฐาน จึงถูกปรับแก้ค่าไปสู่ภาวะมาตรฐานด้วยวิธีการตามมาตรฐาน ไออีซี 60891 [63]

ข) ทดสอบเซลล์แสงอาทิตย์ภายใต้แสงที่ได้จากการไบอัสแสงทั้งสเดนฮาโลเจนได้ที่ความเข้ม 1,007 วัตต์ต่อตารางเมตร และมอดูเลตสัญญาณแรงดันที่จ่ายแสงไดโอดสีแดง สีเขียว น้ำเงิน หรือสีขาว ในช่วงความถี่ 10 ถึง 10,000 เฮิรตซ์ จนความเข้มของแสงจากไดโอดต่ำกว่า 2% ของสัญญาณไบอัส ตามที่จะกล่าวต่อไปในส่วนที่ 4.5

ตารางที่ 3.1 แหล่งกำเนิดแสงอาทิตย์เทียมที่พัฒนาขึ้นและการใช้งาน

แหล่งกำเนิดแสงอาทิตย์เทียม	การใช้งาน
แหล่งกำเนิดแสงอาทิตย์เทียมชนิดไดโอดเปล่งแสง	<p>(ก) ใช้ในการทดสอบ ลักษณะกระแส-แรงดันของเซลล์แสงอาทิตย์ ที่ความเข้มแสง 1,000 วัตต์ต่อตารางเมตร ด้วยแสงสีแดง หรือน้ำเงิน</p> <p>(ข) ทดสอบที่ความเข้ม 800 วัตต์ต่อตารางเมตร ด้วยแสงสีแดง สีน้ำเงิน หรือสีผสมแดง-เขียว-น้ำเงิน</p> <p>(ค) ทดสอบที่ความเข้ม 400 วัตต์ต่อตารางเมตร ด้วยแสงสีแดง สีเขียว สีน้ำเงิน หรือสีขาว</p>

ตารางที่ 3.1 แหล่งกำเนิดแสงอาทิตย์เทียมที่พัฒนาขึ้นและการใช้งาน (ต่อ)

แหล่งกำเนิดแสงอาทิตย์เทียม	การใช้งาน
แหล่งกำเนิดแสงอาทิตย์เทียม ชนิดทังสเตนฮาโลเจน	(ก) ใช้ในการทดสอบ ลักษณะกระแส-แรงดัน ของเซลล์แสงอาทิตย์ ที่ความเข้มแสง 1,000 วัตต์ ต่อตารางเมตร (ข) ในการทดสอบ มีการควบคุมแรงดันโหลดให้ มีค่าเท่ากับ 100% 120% และ 140% ของแรงดัน พิกัด โดยระนาบทดสอบห่างจากโหลดเท่ากับ 42, 62 และ 78 เซนติเมตร ตามลำดับ
แหล่งกำเนิดแสงอาทิตย์เทียม ชนิดทังสเตนฮาโลเจน-ไดโอดเปล่งแสงสีน้ำเงิน	ใช้ในการทดสอบ ลักษณะกระแส-แรงดันของ เซลล์แสงอาทิตย์ ที่ความเข้มแสง 1,040 วัตต์ต่อ ตารางเมตร
แหล่งกำเนิดแสงอาทิตย์เทียม ชนิดทังสเตนฮาโลเจน-ไดโอดเปล่งแสง (แบบเปลี่ยนสีได้)	ใช้ในการทดสอบมอดูเลตความเข้มแสง ด้วยการ ไบอัสแสงทังสเตนฮาโลเจนด้วยความเข้ม 1,007 วัตต์ต่อตารางเมตร และมอดูเลตสัญญาณแสงสี แดง สีเขียว สีน้ำเงิน หรือสีขาว ด้วยความเข้มต่ำ กว่า 2% ของสัญญาณไบอัส ในช่วงความถี่ 10 ถึง 10,000 เฮิรตซ์

### 3.4 การทดสอบลักษณะกระแส – แรงดันของเซลล์แสงอาทิตย์ในภาวะมืด และสว่าง

การทดสอบลักษณะกระแส – แรงดันของเซลล์แสงอาทิตย์ในภาวะมืดและสว่างใช้เป็นข้อมูล  
หาค่าพารามิเตอร์ทางไฟฟ้าและความต้านทานของเซลล์แสงอาทิตย์ และเปรียบเทียบพารามิเตอร์  
ทางไฟฟ้างดังต่อไปนี้

#### ภาวะทดสอบมาตรฐาน

ก) ลักษณะกระแส-แรงดันของเซลล์แสงอาทิตย์ในภาวะทดสอบมาตรฐาน ใช้เครื่องวัด  
มาตรฐาน เอเอเอ ซึ่งให้สเปกตรัมแสงที่มวลอากาศ 1.5 ความเข้มแสง 1,000 วัตต์ต่อตารางเมตร และ  
เซลล์มีอุณหภูมิ 25 องศาเซลเซียส ในการวัด ค่าพารามิเตอร์ของเซลล์แสงอาทิตย์ที่ได้ถูกใช้

เป็นเกณฑ์อ้างอิงสำหรับการปรับแก้ค่าและการศึกษาค่าพารามิเตอร์ด้วยแหล่งกำเนิดแสงอาทิตย์เทียม  
อื่นที่สร้างขึ้นในการศึกษานี้

ข) ความต้านทานอนุกรมและความต้านทานขนาน ถูกคำนวณหาค่าด้วยวิธีเส้นโค้ง  
ลักษณะกระแส-แรงดันในภาวะมืด ณ อุณหภูมิห้อง โดยใช้สมการที่ (2.3) และพบว่า ความต้านทาน  
อนุกรมที่หาค่าได้จากภาวะมืดและสว่างมีค่าไม่ต่างกัน และเท่ากับ 0.03 โอห์ม จึงนำไปใช้  
ในการปรับแก้ค่าลักษณะกระแส-แรงดันนอกภาวะมาตรฐานไปสู่ภาวะมาตรฐาน

ส่วนความต้านทานขนานของเซลล์ถูกหาค่าจากเส้นโค้งลักษณะกระแส-แรงดันของเซลล์แสงอาทิตย์  
ในภาวะมืด โดยใช้สมการที่ (2.4)

#### นอกภาวะทดสอบมาตรฐาน

ลักษณะกระแส – แรงดันของเซลล์แสงอาทิตย์นอกภาวะทดสอบมาตรฐาน วัดภายใต้  
แหล่งกำเนิดแสง

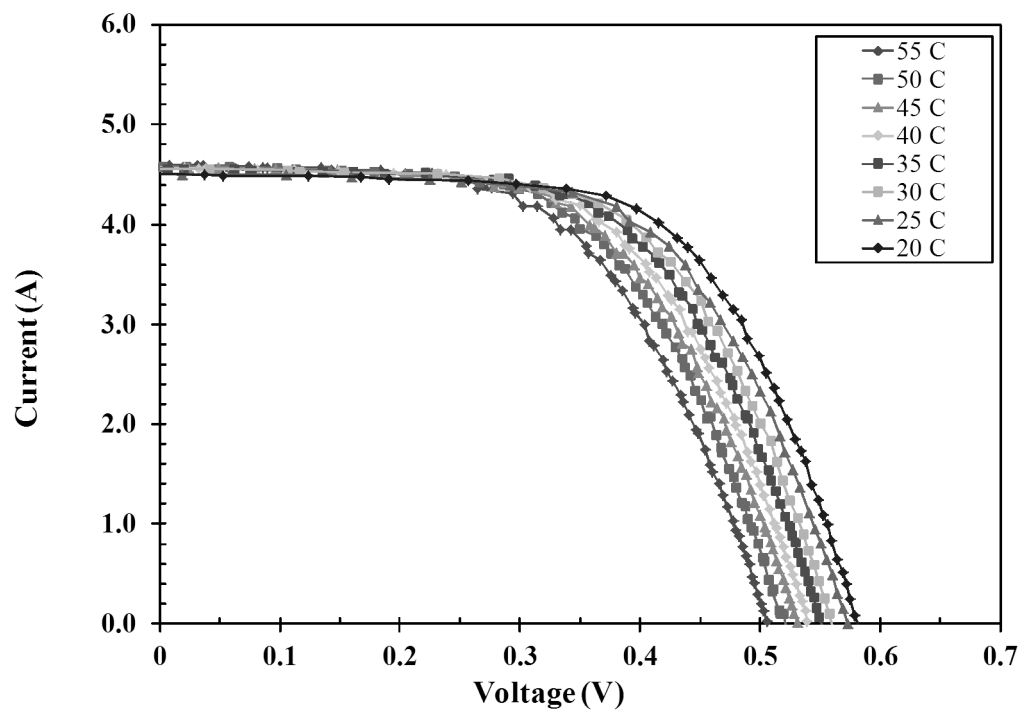
ก) ไดโอดเปล่งแสง ชนิดทั้งสเดนฮาโลเจน และชนิดผสมทั้งสเดนฮาโลเจน –  
ไดโอดเปล่งแสง ที่ระดับความเข้มแสง 1000, 925, 800 และ 400 วัตต์ต่อตารางเมตร ที่อุณหภูมิเซลล์  
25 องศาเซลเซียส ดังรูปที่ 3.1

ข) ไดโอดเปล่งแสงสีแดง สีเขียว สีแดง และสีขาว ด้วยความเข้มแสง 388, 250, 220, และ  
308 วัตต์ต่อตารางเมตร ซึ่งให้ค่ากระแสลัดวงจรเท่ากับที่ 1.40 แอมแปร์ เพื่อนำไปใช้ศึกษา  
ความต้านทานไดนามิกภายในของเซลล์แสงอาทิตย์

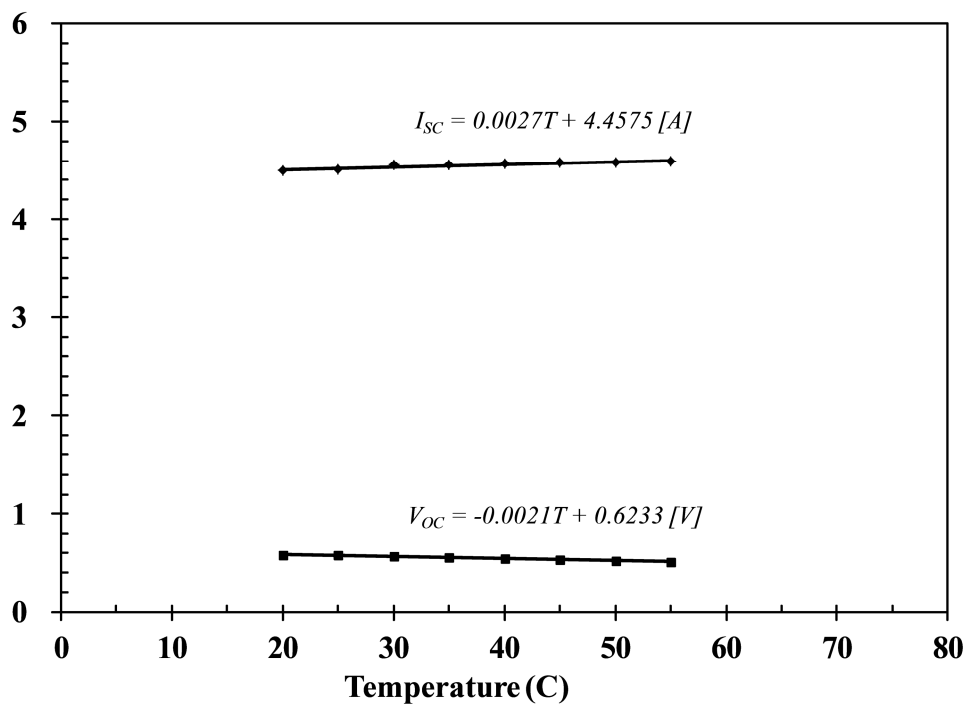
#### สัมประสิทธิ์การเปลี่ยนแปลงตามอุณหภูมิของค่ากระแสลัดวงจรและค่าแรงดันเปิดวงจร

การปรับแก้ค่ากระแส –แรงดันนอกภาวะมาตรฐาน อาศัยค่าสัมประสิทธิ์การเปลี่ยนแปลง  
ตามอุณหภูมิของค่ากระแสลัดวงจรและค่าแรงดันเปิดวงจร และ ค่าแฟคเตอร์ปรับแก้เส้นโค้งลักษณะ  
กระแส-แรงดัน ค่าดังกล่าวหาค่ากระแส –แรงดัน ของเซลล์แสงอาทิตย์ที่อุณหภูมิต่างกันจำนวน  
7 เส้น ได้แหล่งกำเนิดแสงอาทิตย์เทียมมาตรฐาน เอเอเอ ที่ 1,000 วัตต์ต่อตารางเมตร และเซลล์  
มีอุณหภูมิระหว่าง 20 ถึง 50 องศาเซลเซียส โดยมีช่วงห่างอุณหภูมิ 5 องศาเซลเซียส ดังรูปที่ 3.7

ในการคำนวณค่าสัมประสิทธิ์ตามอุณหภูมิของแรงดันเปิดวงจร และกระแสลัดวงจร ค่าแรงดัน  
เปิดวงจร และค่ากระแสลัดวงจร ณ ค่าอุณหภูมิ 20 ถึง 50 องศาเซลเซียส ถูกนำมาพล็อตกราฟ  
ความสัมพันธ์กับค่าอุณหภูมิ และคำนวณสัมประสิทธิ์เชิงเส้นของค่าทั้งสอง ดังรูปที่ 3.8



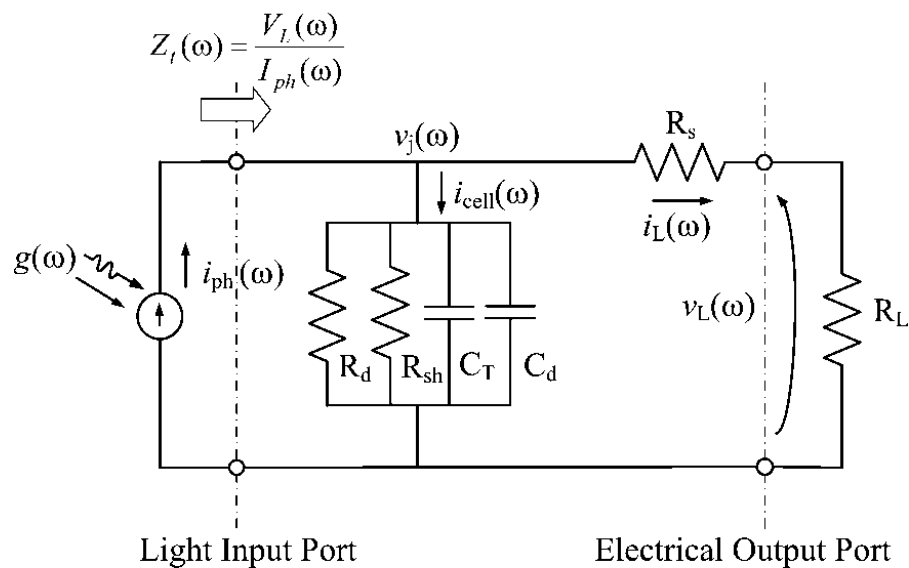
รูปที่ 3.7 ลักษณะกระแส-แรงดันของเซลล์แสงอาทิตย์ที่อุณหภูมิ 20 ถึง 50 องศาเซลเซียส



รูปที่ 3.8 ลักษณะเชิงเส้นหรือสัมพันธ์ตามอุณหภูมิต่ำแรงดันเปิดวงจรและค่ากระแสลัดวงจร

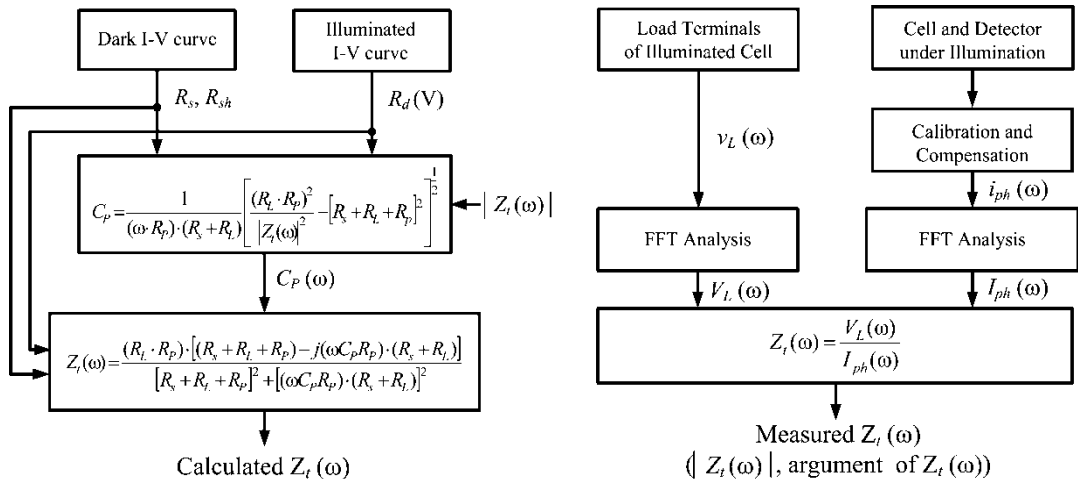
### 3.5 การศึกษาลักษณะพลวัตของเซลล์แสงอาทิตย์ด้วยทรานส์เฟอร์อิมพีแดนซ์

ตามที่ได้กล่าวมาแล้วในส่วนที่ 2.3.3.3 ทรานส์เฟอร์อิมพีแดนซ์ (transfer impedance) เป็นอัตราส่วนระหว่างค่าแรงดันกระแสสลับ  $V_L(\omega)$  ที่โหลดของเซลล์แสงอาทิตย์ กับค่ากระแส สลับที่เกิดจากแสง-โฟโตเคอเรนซ์ (photocurrent)  $I_{ph}(\omega)$  ที่เกิดในเซลล์แสงอาทิตย์ สามารถพิจารณาได้จาก รูปที่ 3.5



รูป 3.9 วงจรสมมูลไดนามิกของโซลาร์เซลล์เมื่อถูกแสง

โดยปรกติและในกรณีทั่วไป แสงตกกระทบเซลล์มีค่าค่อนข้างคงที่ กระแสเนื่องจากแสงจะเป็นกระแสตรง เราใช้วงจรสมมูลย์สแตติกอธิบายพฤติกรรมเซลล์ แต่ในการหาทรานส์เฟอร์อิมพีแดนซ์ แสงตกกระทบประกอบด้วย แสงที่ความเข้มคงที่ (constant bias light) และแสงที่มีอัมพลิจูดเปลี่ยนแปลงตามเวลา (alternating signal light) กระแสเนื่องจากแสงจึงมีส่วนเช่นกัน คือ กระแสตรงและกระแสสลับ



ก) ทรานส์เฟอร์อิมพีแดนส์และพารามิเตอร์องค์ประกอบ ข) ขั้นตอนการหาทรานส์เฟอร์อิมพีแดนส์  
**รูปที่ 3.10** การทดลองเพื่อหาทรานส์เฟอร์อิมพีแดนส์

ตั้งที่นิยามไว้ในสมการที่ (2.58) ในบทที่ 2 และแสดงได้ดังรูปที่ 3.9 ก) ทรานส์เฟอร์อิมพีแดนส์ประกอบด้วยพารามิเตอร์ของเซลล์แสงอาทิตย์ 5 ตัว ได้แก่

- : ความต้านทานอนุกรม  $R_s$  ความต้านทานขนาน  $R_{sh}$  ความต้านทานไดนามิกภายใน  $R_D$  ซึ่งหาได้จากการวัดกระแส-แรงดันเซลล์แสงอาทิตย์ ในสภาวะมืดและสภาวะสว่าง
- : คาปาซิแตนส์ - ทรานส์ชันคาปาซิแตนส์  $C_T$  และดิฟฟิวชันคาปาซิแตนส์  $C_D$
- : ความต้านทานโหลดภายนอก  $R_L$  ที่ต่อเข้ากับเซลล์แสงอาทิตย์ ที่ทราบค่า

เมื่อทราบขนาดและอะกิวเมนต์ของทรานส์เฟอร์อิมพีแดนส์ ทำให้หาทรานส์ชันคาปาซิแตนส์ และดิฟฟิวชันคาปาซิแตนส์ได้ ทั้งนี้ขนาดและอะกิวเมนต์ของทรานส์เฟอร์อิมพีแดนส์ได้จากการวิเคราะห์ฟังก์ชัน  $Z(\omega)$  หรือ  $V_L(\omega) / I_{ph}(\omega)$  ด้วยเทคนิคฟาสต์ฟูเรียร์ทรานส์ฟอร์ม (Fast Fourier Transform, FFT)

จากการทดลอง

- : แรงดันที่โหลดที่ความถี่  $\omega$  หรือ  $V_L(\omega)$  สามารถวัดได้โดยตรงหรือเป็นผลคูณของกระแสที่ไหลผ่านโหลดกับค่าโหลดความต้านทาน
- : กระแสเนื่องจากแสงหรือกระแสโฟโต  $I_{ph}(\omega)$  ไม่สามารถวัดได้โดยตรง เมื่อพิจารณาจากรูปที่ 3.5 กระแสโฟโตเป็นผลรวมของกระแส 2 ส่วน คือ
  - ก) กระแสโฟโตไหลผ่านโหลด วัดได้โดยตรง

ข) กระแสโฟโตโวลต์ผ่านเซลล์ หาได้จากแรงดันตกคร่อมเซลล์ และค่าพารามิเตอร์  $R_{sh}$  และ  $R_D$  ซึ่งทราบค่า และ  $C_T$  กับ  $C_D$  กระแสโฟโตส่วนนี้ไม่สามารถวัดค่าได้โดยตรง

ในการหาค่ากระแสโฟโตของเซลล์แสงอาทิตย์ เมื่อเซลล์แสงอาทิตย์ได้รับแสงไบอัส จึงกำเนิดกระแสโฟโต เมื่อเซลล์อยู่ในภาวะลัดวงจร สามารถวัดค่ากระแสลัดวงจร ( $I_{sc}$ ) ของเซลล์แสงอาทิตย์ และนำมาใช้ในการประมาณค่ากระแสโฟโตของเซลล์แสงอาทิตย์ได้ ดังสมการที่ (2.46) ที่แสดงไว้ในบทที่ 2 ดังนี้

$$i_{ph} = \left( \frac{R_S}{R_d} + \frac{R_S}{R_{sh}} + 1 \right) \cdot i_{sc} \approx \left( \frac{SR \cdot A}{SR_{photo-diode} \cdot A_{photo-diode}} \right) \cdot i_{sc-photo-diode} \quad (2.46)$$

ณ แต่ละความถี่  $\omega$  ของการมอดูเลตสัญญาณแสง แรงดันของเซลล์แสงอาทิตย์สามารถวัดได้ที่ขั้วของเซลล์ซึ่งต่อกับโหลด ส่วนกระแสโฟโตสลับวัดโดยใช้โฟโตไดโอดที่สอบเทียบค่าความเข้มแสงและค่ากระแสแสงของเซลล์แสงอาทิตย์เมื่อมีแสงมอดูเลตเข้ามาในแต่ละความถี่

การสอบเทียบค่ากระแสแสงมีขั้นตอนดังต่อไปนี้

ก) หาอัตราส่วนการแปลงระหว่างค่ากระแสลัดวงจรของเซลล์แสงอาทิตย์และโฟโต ไดโอด เมื่อมีแสงความเข้มเดียวกันตกกระทบ

ข) กำหนดสมมติฐานว่า กระแสลัดวงจรของเซลล์แสงอาทิตย์ และค่ากระแสลัดวงจรของโฟโตไดโอด มีความสัมพันธ์เป็นเชิงเส้นภายใต้แสงที่ตกกระทบ

ค) กำหนดชดเชยและปรับแก้ค่ากระแสแสง จากค่าความต้านทานขนาน (6.40 โอห์ม) และค่าความต้านทานอนุกรม (0.3 โอห์ม)

การชดเชยและปรับแก้ค่านี้ ทำให้กระแสแสงมีค่าไม่เท่ากับค่ากระแสลัดวงจรของเซลล์แสงอาทิตย์ ดังนั้น เมื่อใช้โฟโตไดโอดวัดความเข้มแสงที่ฉายบนพื้นงาน จากค่ากระแสลัดวงจรของโฟโตไดโอดที่วัดได้ จะสามารถคำนวณหาค่ากระแสลัดวงจร และค่ากระแสแสงของเซลล์แสงอาทิตย์ได้

ทรานส์เฟอร์อิมพีแดนส์ ณ ค่าความถี่หนึ่ง มีค่าเท่ากับอัตราส่วนของค่าแรงดันที่ขั้วของเซลล์แสงอาทิตย์ต่อค่ากระแสแสง ในการทดสอบนั้น สามารถวัดค่าแรงดันที่ขั้วของเซลล์แสงอาทิตย์ได้โดยตรง ส่วนค่ากระแสแสงหาได้จากค่ากระแสลัดวงจรและความต้านทานภายในของเซลล์แสงอาทิตย์ ตามที่กล่าวมาข้างต้น ดังนั้นจึงคำนวณหาทรานส์เฟอร์อิมพีแดนส์ได้

ในการหาค่าคาปาซิแตนซ์ของเซลล์แสงอาทิตย์ ณ ค่าความถี่  $\omega$  ที่ทดสอบ ค่าทรานส์เฟอร์ อิมพีแดนซ์ของเซลล์แสงอาทิตย์ที่ได้ นำมาคำนวณหาค่าคาปาซิแตนซ์โดยใช้สมการที่ (2.46)

ค่าคาปาซิแตนซ์ที่คำนวณได้ ถูกเทียบค่าทรานส์เฟอร์อิมพีแดนซ์โดยใช้สมการที่ (2.45) ความแตกต่างระหว่างค่าทรานส์เฟอร์อิมพีแดนซ์ที่คำนวณได้ กับที่ได้จากการทดสอบ เป็นดัชนีบ่งชี้ ความถูกต้องของระบบการวัดนี้

เมื่อสามารถวัดและประมาณค่าแรงดันกระแสสลับที่โหนดของเซลล์แสงอาทิตย์ และค่ากระแสโฟโต กระแสสลับที่กำเนิดภายในเซลล์ จึงสามารถวัดค่าทรานส์เฟอร์อิมพีแดนซ์ของเซลล์แสงอาทิตย์ ตามรูปที่ 3.9 ข) ได้

เมื่อทราบขนาดของทรานส์เฟอร์อิมพีแดนซ์ของเซลล์แสงอาทิตย์ และนำมาแทนค่าในสมการ ที่ (2.67) จึงสามารถคำนวณหาค่าคาปาซิแตนซ์ของเซลล์แสงอาทิตย์ ดังรูปที่ 3.9 ก) ได้ สุดท้าย จึงนำมาคำนวณและแสดงลักษณะพลวัตของเซลล์แสงอาทิตย์ เปรียบเทียบกันระหว่างโมเดล กับการทดลองได้

### 3.5.1 ระดับของสัญญาณมอดูเลต

ระดับของสัญญาณมอดูเลต ดังตารางที่ 3.3 เป็นสัญญาณขนาดเล็กของไดโอดเปล่งแสง เช่น ในการทดสอบด้วยแสงสีขาว มีสัญญาณขนาดใหญ่จากหลอดทั้งสแตนด์มีความเข้มคงที่ 1007 วัตต์ต่อ ตารางเมตร สัญญาณแสงขนาดเล็กจากแผงไดโอดมีความเข้มคงที่ 25 วัตต์ต่อตารางเมตร และแสง ไซนุชอยดัลที่มีอัมพลิจูด 20 วัตต์ต่อตารางเมตร ตลอดช่วง 10 Hz ถึง 10 kHz

ตารางที่ 3.2 จุดทำงานในการมอดูเลตความเข้มแสงของแผงไดโอดเปล่งแสง

แผงไดโอด	แรงดันไดโอด (V)	กระแสไดโอด (A)	ความเข้มแสงจากไดโอด ( $W/m^2$ )	Modulation ratio (%)
ไดโอดสีแดง	$33.0 + 1.8 \sin\omega t$	$0.36 + 0.2 \sin\omega t$	$20.0 + 15.0 \sin\omega t$	1.5
ไดโอดสีเขียว	$55.0 + 5.0 \sin\omega t$	$1.16 + 0.6 \sin\omega t$	$24.0 + 10.0 \sin\omega t$	1.0
ไดโอดสีน้ำเงิน	$50.0 + 1.8 \sin\omega t$	$0.38 + 0.18 \sin\omega t$	$33.0 + 18.0 \sin\omega t$	1.8
ไดโอดสีขาว	$50.0 + 5.0 \sin\omega t$	$0.65 + 0.45 \sin\omega t$	$25.0 + 20.0 \sin\omega t$	1.9

### 3.5.2 การควบคุมแรงดันของเซลล์แสงอาทิตย์

เนื่องจากค่าความต้านทานไดนามิกภายในของเซลล์แสงอาทิตย์ เป็นพารามิเตอร์ที่แปรกับลักษณะ กระแส-แรงดันของเซลล์แสงอาทิตย์ ค่าความต้านทานนี้ขึ้นกับ

ก) ขนาดและความโค้งงอของลักษณะกระแส-แรงดัน ควบคุมด้วยความเข้มและสเปกตรัมแสง ในการศึกษาได้ควบคุมการทดสอบลักษณะพลวัตของเซลล์แสงอาทิตย์ ภายใต้ลักษณะกระแส-แรงดันที่ไม่แตกต่างกัน (เหมือนกัน)

ข) แรงดันจุดทำงานของเซลล์แสงอาทิตย์

โดยทั่วไปแล้ว ความต้านทานไดนามิกภายในและ  $C_D$  แปรตามแรงดันที่ตกคร่อมเซลล์ การทดลองหาไดนามิกส์อิมพีแดนซ์ที่ผ่านมา(และหา  $C_D$ ) โดยเทคนิคอิมพีแดนซ์สเปกโตรสโกปี ภายใต้แรงดันไบอัสที่เปลี่ยนไป ใช้การปรับค่าแรงดันแหล่งจ่ายและปรับโหลด วัดทั้งในภาวะมืดและสว่าง สัญญาณไฟฟ้าสลับเป็นอินพุทของเซลล์

สำหรับการศึกษานี้ แสงเป็นสัญญาณอินพุทเดียวที่ป้อนให้กับเซลล์ ไม่มีสัญญาณไฟฟ้าเป็นอินพุท การปรับแรงดันไบอัสเซลล์จึงทำได้ทางเดียวคือ ปรับค่าความต้านทานโหลด ทำให้กระแสผ่านโหลดและความต้านทานอนุกรมเปลี่ยน แรงดันตกคร่อมโหลดและความต้านทานอนุกรมเปลี่ยนตาม และแรงดันไบอัสเซลล์เปลี่ยนตามต่อมา

### 3.5.3 การวิเคราะห์ปัจจัยที่มีผลต่อทรานส์เฟอร์อิมพีแดนซ์และคาปาซิแตนซ์ของเซลล์แสงอาทิตย์

ค่าทรานส์เฟอร์อิมพีแดนซ์ และคาปาซิแตนซ์ตามที่กล่าว ซึ่งเปลี่ยนตามแรงดันไบอัสเซลล์และความถี่ แสดงถึงพลวัตของเซลล์ งานวิจัยนี้ได้ศึกษาพลวัตเซลล์ภายใต้เงื่อนไขต่อไปนี้

ก) ผลของรูปคลื่นสัญญาณ(signal waveform) ต่อทรานส์เฟอร์อิมพีแดนซ์ โดยการมอดูเลตด้วยรูปคลื่นสัญญาณสี่แบบคือ ไซน์ซอยด์(sinusoidal) สี่เหลี่ยม(square wave) สามเหลี่ยม(triangular) และสามเหลี่ยมฟันเลื่อย(saw tooth)

ข) ผลของสเปกตรัมแสงต่อทรานส์เฟอร์อิมพีแดนซ์ โดยการมอดูเลตคลื่นสัญญาณไซน์ซอยด์ โดยใช้ไดโอดสีแดง เขียว น้ำเงิน และขาว

ค) ผลของแรงดันจุดทำงานต่อทรานส์เฟอร์อิมพีแดนซ์ โดยการควบคุมค่าความต้านทาน โหลดให้มีค่าเท่ากับ 160, 260, 300, 400 และ 500 มิลลิโวลต์ แล้วมอดูเลตความเข้มแสง เพื่อศึกษา ทรานส์เฟอร์อิมพีแดนซ์ ณ แรงดันจุดทำงานที่กำหนด

ง) ผลของอุณหภูมิที่มีต่อคาปาซิแตนซ์ของเซลล์ โดยควบคุมอุณหภูมิของเซลล์ให้ 300, 315 และ 330 K เพื่อเปรียบเทียบผลของอุณหภูมิที่มีต่อคาปาซิแตนซ์ของเซลล์ ณ จุดกำลังงานสูงสุด

จ) แรงดันจุดทำงานต่อลักษณะคาปาซิแตนซ์ - แรงดันของเซลล์ โดยหาทรานส์เฟอร์ อิมพีแดนซ์ ที่อุณหภูมิห้อง ปรับค่าแรงดันไบอัสในช่วง 160 – 500 mV ช่วงละ 20 mV เพื่อศึกษา ลักษณะคาปาซิแตนซ์ - แรงดันของเซลล์ซิลิกอนผลึกเดี่ยว